

ДОЛГОВРЕМЕННЫЕ РЕЛАКСАЦИИ ПРОВОДИМОСТИ В НЕЛЕГИРОВАННОМ АНТИМОНИДЕ КАДМИЯ

Грицюк Б. Н., Сирота А. В., Халамейда Д. Д.

Обнаружены долговременные релаксации (ДР) проводимости нелегированных монокристаллов CdSb, находящихся при гелиевой температуре в условиях стационарной «подсветки» фоновым тепловым излучением (температура излучателя 300 К). На участке релаксационного увеличения проводимости существует локальный минимум. Изменение проводимости во времени описывается экспоненциальным законом. Постоянная времени релаксационного процесса с течением времени изменяется. Авторы исследований СВЧ фотопроводимости и гальваномагнитных характеристик образцов указывают на возможную причину долговременных релаксаций в CdSb — существование у центров рекомбинации либо «индивидуального», либо «коллективного» отталкивающего кулоновского барьера величиной 10 ± 12 мэВ. Однако ни в одной из предложенных моделей не объяснены все особенности долговременных релаксаций в CdSb.

В нелегированном CdSb точечные дефекты создают вблизи валентной зоны акцепторные состояния, которые, по-видимому, являются двухвалентными [1]. Зарядовое состояние таких примесных центров оказывает существенное влияние на статистику носителей тока и рекомбинационные процессы в полупроводниках. Экспериментальное исследование этого влияния проводилось в [2], где впервые наблюдались ДР, обусловленные рекомбинацией носителей на двухвалентных акцепторах. В однократно заряженном состоянии центры обладают «индивидуальным» отталкивающим барьером для захвата второго электрона [3]. Сечение захвата таких центров очень малое и определяет границу применимости классической теории рекомбинации для объяснения величины наблюданного в эксперименте времени жизни неравновесных носителей. Большие времена жизни требуют привлечения модели «коллективного» отталкивающего барьера у центров рекомбинации [4]. В соответствии с этой моделью в неоднородных полупроводниках, в которых существуют встроенные электрические поля, происходит разделение в пространстве неравновесных носителей и центров рекомбинации. Для попадания в области пространства, содержащие центры рекомбинации, неравновесным носителям необходимо преодолеть потенциальный барьер.

О бразцы и методика эксперимента

Нелегированные монокристаллы CdSb выращивались методом зонной плавки и обладали низкой концентрацией точечных дефектов. Образцы вырезались из слитка так, чтобы кристаллографическая ось [100] была направлена вдоль наибольшего размера образца; размеры образцов $6 \times 1 \times 0.8$ мм. После механической и химической обработки поверхности к образцам низкотемпературным припоем на основе Pb, Sn, Bi, Cd припаивались токовые и потенциальные контакты. Параметры образцов определялись по «темновым» температурным измерениям коэффициента Холла R и проводимости σ в диапазоне $T = 4.7 \div -100$ К. Изучалось изменение во времени СВЧ фотопроводимости (ФП) и гальваномагнитных характеристик образцов при гелиевой температуре под воздействием ИК подсветки от теплого конца волновода, находящегося при $T = 300$ К. Контакты образца облучению не подвергались. Падающая на образец СВЧ мощность достигала 50 мВт, длина волны излучения — 2.5 мм. Сигнал ФП ($U_{\text{ФП}}$)

регистрировался по методике синхронного детектирования. Магнитополевые зависимости записывались в геометрии Фарадея. ДР σ регистрировались по изменению во времени напряжения на потенциальных контактах образца при постоянном токе через образец. Производилось охлаждение образца от 300 до 4.2 К при постоянной фоновой ИК «подсветке». Регистрация зависимости σ(t) начиналась в момент установления теплового равновесия между образцом и гелиевой ванной. Откачка паров жидкого гелия позволяла понижать температуру до 1.8 К. С помощью низкотемпературного фильтра (Ge , легированный Sb) можно было проводить эксперимент в отсутствие фоновой подсветки. В этом случае ДР отсутствовали.

Долговременные релаксации проводимости

На рис. 1 показаны температурные зависимости R и σ. Кривые имеют характерный для примесного полупроводника вид [5]. В области температур 20–100 К R имеет ступеньку.

На рис. 2 показана зависимость σ от времени наблюдения t . В течение первых 113 мин значение σ оставалось неизменным и совпадало с темновым (кривая 3).

Далее происходил резкий скачок σ с последующей медленной, близкой к экспоненциальному релаксации к стационарному низкоомному значению. Увеличение σ во времени можно описать выражением

$$\sigma(t) = \sigma_0 + \sigma_0 \exp(t/\tau_1), \quad (1)$$

где $\sigma_0 = 4.83 \cdot 10^{-4} \text{ Ом}^{-1} \cdot \text{см}^{-1}$ — «темновое» значение проводимости; $\sigma_0 = 9.6 \times 10^{-4} \text{ Ом}^{-1} \cdot \text{см}^{-1}$ — начальное значение проводимости при ДР в момент времени 113 мин; $\tau_1 = 18$ мин — постоянная времени нарастания вблизи первоначального скачка проводимости. С течением времени постоянная времени изменялась.

На участке релаксационного увеличения σ наблюдался локальный минимум. Уменьшение σ в интервале от $t_1 = 152$ до $t_2 = 168$ мин можно представить выражением

$$\sigma(t) = \left\{ \rho_0 + \rho_A \left[1 - \exp \left(-\frac{t - 152 \text{ мин}}{\tau_2} \right) \right] \right\}^{-1}, \quad (2)$$

где $\rho_0 = 94.3 \text{ Ом} \cdot \text{см}$ — начальное значение удельного сопротивления при $t_1 = 152$ мин; $\rho_A = 746.3 \text{ Ом} \cdot \text{см}$ — значение, примерно равное амплитудному: $\rho(t_2) - \rho(t_1)$; $\tau_2 = 7.7$ мин — постоянная времени спада.

Интересно отметить, что уменьшение температуры образца на участках постоянного как низкоомного, так и высокоомного значений проводимости вызывало ее увеличение.

После установления в ходе ДР низкоомного состояния повышение температуры от 4.2 до 300 К и последующее охлаждение до 4.2 К приводили к восстановлению высокоомного состояния σ и ДР. Такое термоциклирование образца приводило к изменению абсолютных темновых значений σ и R при 4.2 К. На вставке к рис. 2 показано увеличение σ для пяти термоциклов. Номера кривых на рис. 2 соответствуют номерам термоциклов.

Параллельное измерение во время ДР σ коэффициента Холла показало его изменение в тех же временных интервалах (рис. 2).

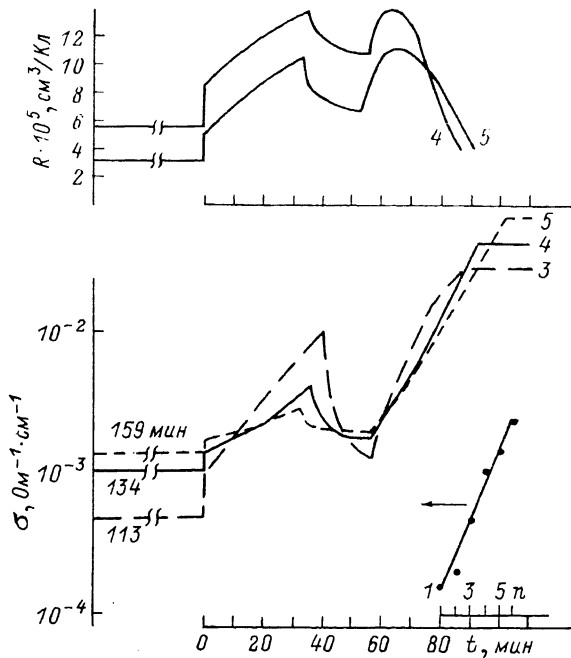


Рис. 2. Временные зависимости σ и R ($T=4.2$ К; ИК подсветка образца).
 n — номер термоцикла, который приводил к изменению значений σ и R .

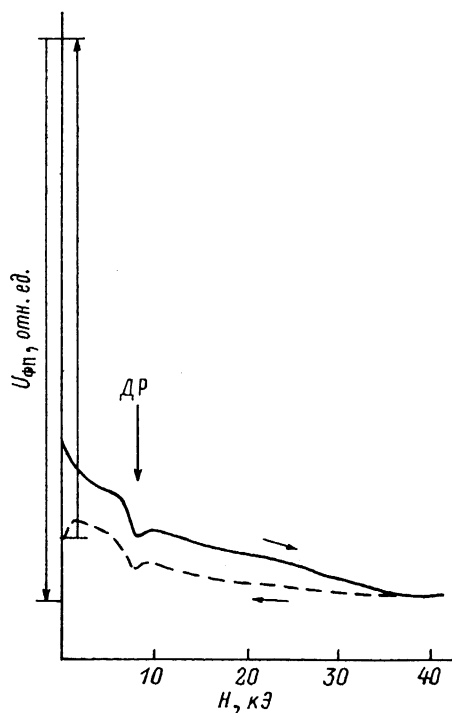


Рис. 3. Магнитополевые зависимости $U_{\Phi II}$ ($T=4.2$ К; ИК подсветка образца).

СВЧ фотопроводимость изучалась нами ранее [5] при гелиевой температуре в магнитном поле без ИК подсветки. В чистых образцах при выполнении соответствующих условий на магнитополевой зависимости ФП наблюдалась линия циклотронного резонанса. При фоновой ИК подсветке имела место неоднозначная зависимость $U_{\text{ФП}}(H)$: величины $U_{\text{ФП}}$ при увеличении и уменьшении H не совпадали. После возвращения в точку $H=0$ регистрировались ДР ФП. На рис. 3 приведена запись $U_{\text{ФП}}(H)$ на участке постоянного высокомомента значения σ в момент времени $t=109$ мин (рис. 2, кривая 5). Стрелками показано поведение $U_{\text{ФП}}$ во время ДР, продолжавшихся 20 мин. Сигнал ФП сначала увеличивался, а затем, пройдя через максимум, уменьшался до нового стационарного значения.

Обнаружена зависимость величины $U_{\text{ФП}}$ от взаимной ориентации вектора электрического поля СВЧ волны E_{\sim} и вектора постоянного электрического поля смещения E_0 . $U_{\text{ФП}}$ в случае $E_{\sim} \parallel E_0$ всегда превышает $U_{\text{ФП}}$ в случае $E_{\sim} \perp E_0$.

Следует заметить, что в отсутствие постоянного электрического поля смещения при облучении образца СВЧ излучением на его контактах регистрировалось некоторое напряжение. Величина ЭДС анизотропна по отношению к направлению магнитного поля.

Обсуждение результатов

ДР σ наблюдались во многих полупроводниках [6], однако в CdSb они обнаружены впервые. Значительная амплитуда ДР ($\sigma_{\text{п}}/\sigma_{\text{т}} \geq 60$, $\sigma_{\text{п}} — стационарное низкомоментное значение проводимости образца в условиях ИК подсветки) в сочетании с большим характерным временем релаксационного процесса находится в противоречии с теорией тунNELьной межпримесной рекомбинации [7]. Поэтому наблюдаемые ДР трудно объяснить большим временем жизни неравновесных носителей тока, осуществляющих прыжковую проводимость по примесной зоне. Изменение R в тех же временных интервалах, что и σ , указывает на концентрационный механизм ДР. Температурные гальваномагнитные измерения показывают существование в CdSb двух акцепторных уровней с различными энергиями ионизации; степенька на $R(T)$ обусловлена ионизацией более глубокого энергетического уровня. В области температур 4.2—20 К происходит ионизация мелкого уровня, и изменение концентрации дырок валентной зоны описывается выражением$

$$\frac{p(p+N_D)}{N_{A1}-N_D-p} = \beta N, \exp\left(-\frac{E_{A1}}{kT}\right), \\ N = 2[2\pi m^* kT/\hbar^2]^{1/2}. \quad (3)$$

С помощью метода наименьших квадратов можно осуществить подбор неизвестных в (3) параметров, так чтобы они наилучшим образом описывали экспериментальную зависимость $p(T)$. С учетом того, что фактор спинового вырождения акцепторного уровня $\beta=0.5$, а эффективная масса плотности состояний $m^*=0.456 m_0$ [5], были получены энергия ионизации первого уровня $E_{A1}=4.52$ мэВ, концентрация акцепторных центров $N_{A1}=6.18 \times 10^{14}$ см⁻³ и степень их компенсации $N_D/N_{A1}=77\%$. Вследствие малого значения энергии активации акцепторных центров рекомбинация на них доминирует¹ при низких температурах. Сечение захвата носителей тока центрами рекомбинации дается выражением

$$S = (v_t \tau \Delta p)^{-1}, \quad (4)$$

где v_t — тепловая скорость носителей, Δp — концентрация неравновесных дырок, τ — время жизни.

¹ Концентрация неравновесных носителей, определяющих межзонную рекомбинацию и создаваемых излучением абсолютно черного тела при $T=300$ К, на 4 порядка меньше концентрации неравновесных дырок, обусловленных ионизацией акцепторов.

Подставляя в (4) $\tau_1=18$ мин, $v_t=2.3 \cdot 10^6$ см/с, $\Delta p=1.5 \cdot 10^{13}$ см⁻³, получим оценку сечения захвата, наблюдаемого в эксперименте, $S \leq 3 \cdot 10^{-23}$ см². Такую величину сечения захвата можно объяснить наличием у центров рекомбинации либо индивидуального, либо коллективного отталкивающего кулоновского барьера. Первым обладают двухзарядные акцепторные центры в состоянии однократной ионизации. Температурная зависимость коэффициента Холла исследованных образцов показывает существование в CdSb двух акцепторных уровней. Наличие второго уровня может быть обусловлено тем, что акцепторы являются двухвалентными. Это согласуется с результатами работ [1, 8]. Данные по СВЧ фотопроводимости в CdSb свидетельствуют в пользу другой модели — коллективного барьера у центров рекомбинации. ДР ФП и неоднозначная зависимость $U_{\text{ФП}}(H)$ могут быть поняты, если предположить наличие в образцах встроенных электрических полей. В магнитном поле на них должно оказывать влияние электрическое поле Холла. Наличием встроенных электрических полей объясняется в [9] гистерезисная зависимость ФП от H и ДР в *p*-GaAs. По-видимому, этим же обусловлено появление напряжения на контактах образца при его СВЧ облучении в отсутствие постоянного электрического поля смещения. Такие встроенные электрические поля обусловлены неоднородностью полупроводников. В исследованных образцах зарегистрировано изменение величины $U_{\text{ФП}}$ при вращении вектора E_0 относительно E_{\perp} . Поляризационная зависимость такого типа отмечалась в [10, 11] для сильно легированных компенсированных полупроводников и неоднородных варизонных кристаллов Cd_xHg_{1-x}Te. Таким образом, основываясь на полученных экспериментальных данных, нельзя отдать предпочтения какой-либо одной из двух моделей ДР.

В обоих рассмотренных выше случаях время жизни неравновесных носителей без учета их туннелирования сквозь барьер E_B имеет вид

$$\tau = \tau_0 \exp \frac{E_B}{kT}, \quad (5)$$

где τ_0 — время жизни в отсутствие барьера. Концентрация неравновесных носителей

$$\Delta p = \alpha \eta J \tau \quad (6)$$

(α — коэффициент поглощения, η — квантовый выход фотоэффекта, J — интенсивность излучения) должна увеличиваться при уменьшении температуры, что и наблюдалось в эксперименте.

Из (5) можно получить оценку $E_B=10 \div 12$ мэВ в предположении, что происходит ионизация акцепторных уровней, созданных точечными дефектами, $\tau_0 \approx 10^{-9}$ с [1], а время жизни лежит в пределах $10^3 \leq \tau \leq 10^7$ с.

Величину индивидуального кулоновского барьера для двухзарядного акцепторного центра в однократно заряженном состоянии можно оценить в рамках водородоподобной модели. Считалось, что отрицательный заряд — *e* сосредоточен в центре акцептора, а максимальное значение барьера достигается при помещении второго электрона на боровскую орбиту наибольшего радиуса ~60 Å. Такой расчет дает $F_B=10.5$ мэВ.

В рассмотренных моделях объясняются большие времена релаксационных процессов, однако остаются неясными некоторые экспериментальные результаты: 1) существование постоянного значения σ , в течение первых ~2 ч в условиях фоновой ИК подсветки, температурная зависимость σ на этом интервале времени качественно согласуется с (6), поэтому, несмотря на совпадение значения σ с темновым, это состояние, по-видимому, нельзя считать равновесным, что подтверждается и ДР ФП на участке постоянного значения σ ; 2) кинетика релаксационных процессов не согласуется с кинетикой изменения концентра-

² Из экспериментальной зависимости $\sigma(t)$ определена постоянная времени нарастания $\tau_1=18$ мин. Отметим, что при примесном фотоэффекте постоянная времени нарастания концентрации неравновесных носителей зависит от интенсивности излучения. Однако она не может быть меньше постоянной времени спада, интерпретируемой как время жизни, максимальное значение которого 10^7 с [6].

ции неравновесных носителей при примесном фотоэффекте; 3) неизвестно про-
исхождение минимума проводимости на зависимости $\sigma(t)$ (рис. 2). В [8] при сов-
местном исследовании спектральных зависимостей коэффициента поглощения и фотопроводимости в области примесного поглощения обнаружен мелкий уро-
вень, обозначенный π , ионизация которого ИК излучением приводила к умень-
шению $U_{\text{ФП}} \sim \Delta\sigma/\sigma_t$ ($\Delta\sigma$ — приращение проводимости при освещении образца).
Возможно, что минимум $\sigma(t)$ в нашем случае также обусловлен ионизацией этого
энергетического уровня.

В заключение отметим, что на ДР σ существенное влияние оказывает термо-
циклирование образцов, которое изменяет темновые значения R и σ при 4.2 К.
Увеличение σ и уменьшение R сопровождаются увеличением как времени по-
стоянного значения σ в ходе ДР, так и времени самого релаксационного про-
цесса. Можно предположить, что термоудары вызывают генерацию акцептор-
ных центров в образцах, что приводит к увеличению концентрации дырок при
низких температурах и оказывает влияние на величину коллективного барьера.

Список литературы

- [1] Лазарев В. Б., Шевченко В. Я., Гринберг Я. Х., Соболев В. В. Полупроводниковые соединения группы A^2B^5 . М., 1978. 256 с.
- [2] Lorenz M. R., Segall B., Woodbury H. H. // Phys. Rev. 1964. V. 134. N 3A. P. A751—A760.
- [3] Роуз А. Основы теории фотопроводимости. М., 1966. 192 с.
- [4] Маркевич И. В., Шейнкман М. К. // ФТТ. 1970. Т. 12. В. 11. С. 3133—3140.
- [5] Грицюк Б. Н., Сирота А. В., Халамейда Д. Д. // Твердотельная электроника ММ и субмм диапазонов. Сб. науч. тр. ИРЭ АН УССР. Харьков, 1988. С. 136—142.
- [6] Шейнкман М. К., Шик А. Я. // ФТП. 1976. Т. 10. В. 2. С. 209—233.
- [7] Доброго В. П., Рывкин С. М. // ФТП. 1964. Т. 6. В. 4. С. 1203—1207.
- [8] Stukan V. A., Marekin S. F., Trifonov V. I., Shevchenko V. Ya. // Phys. St. Sol. (a). 1977. V. 39. P. 445—452.
- [9] Голубев В. Г., Емельяненко О. В., Иванов-Омский В. И. // Изв. АН СССР. Физика. 1978. Т. 42. В. 6. С. 1249—1252.
- [10] Афиногенов В. М., Трифонов В. И. // ФТП. 1972. Т. 6. В. 7. С. 1256—1263.
- [11] Кичигин Д. А., Раренюк И. М., Тальянский Э. Б., Халамейда Д. Д. // ФТП. 1985. Т. 19. В. 2. С. 263—267.

Институт радиофизики
и электроники АН УССР
Харьков

Получена 30.05.1991
Принята к печати 17.06.1991